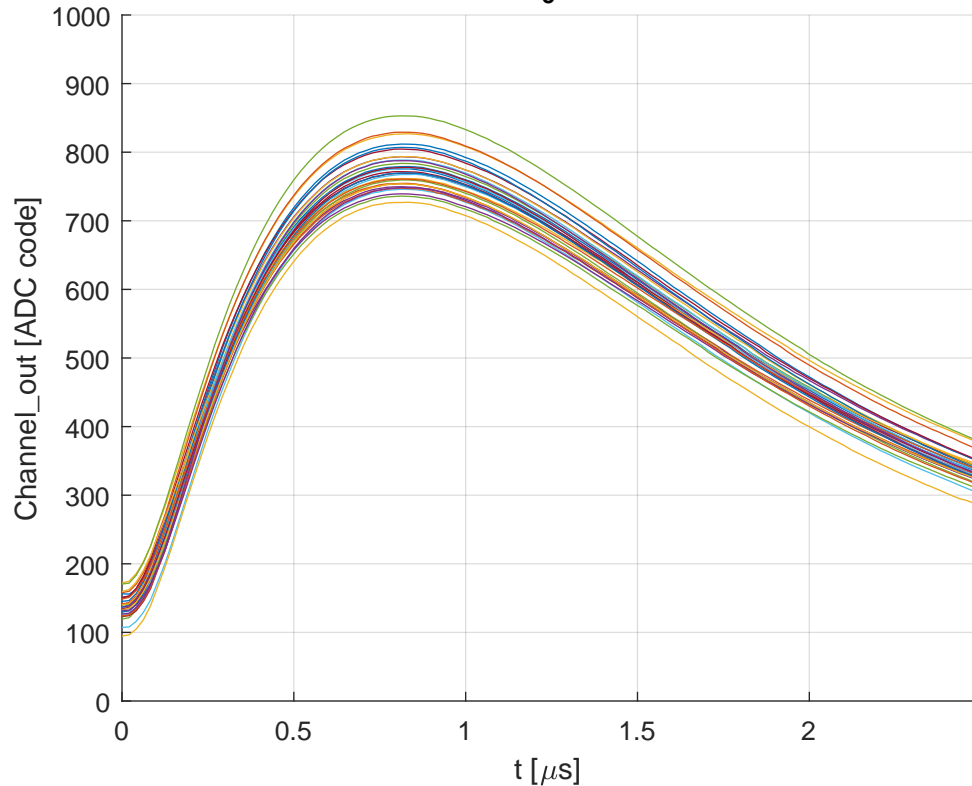


Waveform Scan for  $\tau_3$  - 1000 DAC\_inj code



Ch #00 ( $\tau_p$ 0.79 $\mu$ s)	Ch #16 ( $\tau_p$ 0.83 $\mu$ s)
Ch #01 ( $\tau_p$ 0.83 $\mu$ s)	Ch #17 ( $\tau_p$ 0.81 $\mu$ s)
Ch #02 ( $\tau_p$ 0.83 $\mu$ s)	Ch #18 ( $\tau_p$ 0.81 $\mu$ s)
Ch #03 ( $\tau_p$ 0.81 $\mu$ s)	Ch #19 ( $\tau_p$ 0.85 $\mu$ s)
Ch #04 ( $\tau_p$ 0.81 $\mu$ s)	Ch #20 ( $\tau_p$ 0.83 $\mu$ s)
Ch #05 ( $\tau_p$ 0.81 $\mu$ s)	Ch #21 ( $\tau_p$ 0.81 $\mu$ s)
Ch #06 ( $\tau_p$ 0.81 $\mu$ s)	Ch #22 ( $\tau_p$ 0.81 $\mu$ s)
Ch #07 ( $\tau_p$ 0.81 $\mu$ s)	Ch #23 ( $\tau_p$ 0.81 $\mu$ s)
Ch #08 ( $\tau_p$ 0.81 $\mu$ s)	Ch #24 ( $\tau_p$ 0.81 $\mu$ s)
Ch #09 ( $\tau_p$ 0.83 $\mu$ s)	Ch #25 ( $\tau_p$ 0.81 $\mu$ s)
Ch #10 ( $\tau_p$ 0.81 $\mu$ s)	Ch #26 ( $\tau_p$ 0.81 $\mu$ s)
Ch #11 ( $\tau_p$ 0.81 $\mu$ s)	Ch #27 ( $\tau_p$ 0.81 $\mu$ s)
Ch #12 ( $\tau_p$ 0.85 $\mu$ s)	Ch #28 ( $\tau_p$ 0.83 $\mu$ s)
Ch #13 ( $\tau_p$ 0.81 $\mu$ s)	Ch #29 ( $\tau_p$ 0.83 $\mu$ s)
Ch #14 ( $\tau_p$ 0.83 $\mu$ s)	Ch #30 ( $\tau_p$ 0.81 $\mu$ s)
Ch #15 ( $\tau_p$ 0.81 $\mu$ s)	Ch #31 ( $\tau_p$ 0.83 $\mu$ s)